Температурный коэффициент сопротивления структур $Ti_{1-x}Al_xCuN/SiO_2$, осажденных методом магнетронного распыления

Е. Ю. Нестерова¹⁾, В. А. Зайков¹⁾, Ф. Ф. Комаров²⁾, С. В. Константинов²⁾, В. А. Дьяченко¹⁾

1) Белорусский государственный университет, Минск, Беларусь, e-mail: nestserava.lizaveta@gmail.com
2) Институт прикладных физических проблем им. А. Н. Севченко Белорусского государственного университета, Минск, Беларусь, e-mail: svkonstantinov@bsu.by

Представлены результаты исследования температурных зависимостей сопротивления структур $Ti_{1-x}Al_xCuN / SiO_2$, осажденных методом реактивного магнетронного распыления из композитной мишени TiAlCu на кремниевые подложки с термически выращенным слоем SiO_2 . Электрофизические измерения проводили по двухзондовой схеме с помощью измерителя параметров полупроводниковых приборов ИППП-6. Структура и компонентный состав пленок исследовались методами сканирующей электронной микроскопии (СЭМ). Обнаружено, что структуры $Ti_{1-x}Al_xCuN / SiO_2$ с соотношением компонент $x = Al / (Al+Ti) \approx (0,55-0,63)$ имеют отрицательный температурный коэффициент сопротивления (ТКС) и являются перспективными для разработки высокотемпературных термисторов.

Ключевые слова: реактивное магнетронное распыление, температурный коэффициент сопротивления, сканирующая электронная микроскопия.

Temperature coefficient of resistance of Ti_{1-x}Al_xCuN/SiO₂ structures deposited by magnetron sputtering

E. Y. Nesterova $^{1)}$, V. A. Zaikov $^{1)}$, F. F. Komarov $^{2)}$, S. V. Konstantinov $^{2)}$, V. A. Dyachenko $^{1)}$

1) Belarusian State University, Minsk, Belarus, e-mail: nestserava.lizaveta@gmail.com 2)A. N. Sevchenko Institute of Applied Physical Problems of Belarusian State University, Minsk, Belarus, e-mail: svkonstantinov@bsu.by

The temperature dependence analysis of the resistance of $Ti_{1-x}Al_xCuN / SiO_2$ structures deposited by reactive magnetron sputtering from a TiAlCu composite target onto silicon substrates with a SiO_2 layer is presented in the paper. Electrical measurements were performed using a two-probe scheme using an IPP-6 semiconductor device parameter meter. The structure and component composition of the films were studied using scanning electron microscopy (SEM). It was found that $Ti_{1-x}Al_xCuN / SiO_2$ structures with a component ratio of $x = Al / (Al + Ti) \approx (0.55 - 0.63)$ have a negative temperature coefficient of resistance (TCR) and are promising for the development of high-temperature thermistor.

Keywords: reactive magnetron sputtering; temperature coefficient of resistance; scanning electron microscopy.

Введение

Тонкопленочные покрытия нитридов переходных металлов, в частности, $Ti_{1-x}Al_xN$, $Ti_{1-x}Al_xSiN$ и $Ti_{1-x}Al_xCuN$, полученные методом реактивного магнетронного распыления, широко используются в машиностроении и авиационной технике [1]. Этому способствуют высокие значения твердости, адгезионная прочность и устойчивость покрытий к окислению. Добавление меди в состав покрытия $Ti_{1-x}Al_xCuN$ уменьшает размер кристаллитов (размер зерен менее 100 нм) и препятствует миграции границ зерен [1].

В статье Бруно Мартинса и др. [2], показано, что нитрид титана-алюминия $(Ti_{1-x}Al_xN)$, обладая превосходными механическими свойствами, является перспективным материалом для создания высокоэффективных термисторов с отрицательным значением ТКС. Целью настоящей работы является исследование электрофизических свойств наноструктурных покрытий $Ti_{1-x}Al_xCuN$, осажденных на SiO_2 , и изучение возможности их использования в приборных структурах термисторов, работающих при повышенных температурах.

1. Формирования покрытий Ti_{1-x}Al_xCuN

Формирование покрытий $Ti_{1-x}Al_xCuN$ проводилось методом реактивного магнетронного распыления на установке УВН-2М, оснащенной магнетроном, ионным источником «Радикал», системами нагрева подложек, подачи смещения на подложку и модульным комплексом управления расходом газов (МКУРГ) [3]. Осаждение покрытий проводилось из композитной мишени TiAlCu с соотношением атомных долей Ti/Al = 1:1 и содержанием меди 8,0% (ат.) [4]. В процессе осаждения контролировались следующие параметры: ток и напряжение разряда, давление смеси газов, температура подложки, напряжение и ток смещения на подложке. В качестве подложек использовались образцы размером $20 \text{ мм} \times 15 \text{ мм}$, вырезанные из пластин кремния марки KЭФ-4 с термически окисленным слоем SiO_2 . Управление составом газовой среды с помощью прибора МКУРГ позволяло стационарно поддерживать неравновесное состояние разряда в переходных режимах осаждения с неустойчивым химическим состоянием поверхности мишени. Параметром контроля процесса распыления является степень реактивности α , определяемая через интенсивности спектральных линий материала мишени по формуле [3]:

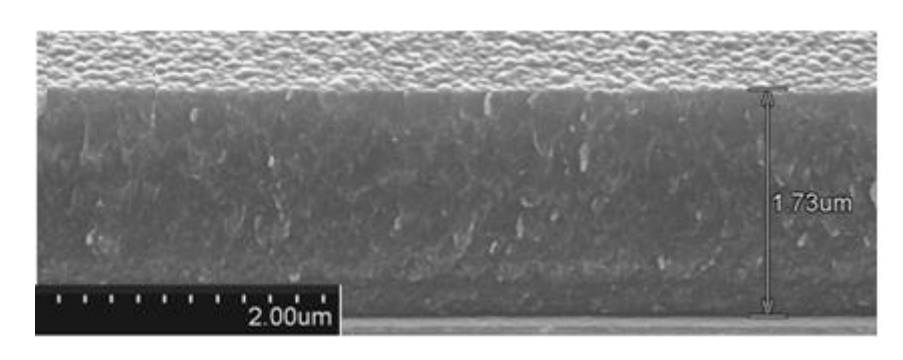
$$\alpha = \frac{(I_0 - I)}{(I_0 - I^*)},\tag{1}$$

где α - степень реактивности; I_0 – интенсивность линии титана TiI 506,5 нм в плазме разряда в чистом аргоне; I – текущая величина интенсивности линии титана в смеси аргон - азот; I^* - интенсивность линии титана при полностью азотированной поверхности мишени. Процессы осаждения покрытий проводили при пяти значениях степени реактивности α : 0,60; 0,58; 0,55; 0,51; 0,47.

2. Результаты и обсуждение

Структура и компонентный состав пленок исследовались методами СЭМ. На рис. 1 представлены микрофотографии сколов и поверхности образцов. Анализ микрофотографий структур поперечных сечений покрытий, показал, что осажден-

ные покрытия $Ti_{1-x}Al_xCuN$ являются однородными, плотными и не содержат видимых дефектов по всей площади сечения и на поверхности. Полученные из анализа микрофотографий толщины слоев $Ti_{1-x}Al_xCuN$, а также значения времени нанесения использовались для определения скорости осаждения v.



1.72um

 $Puc.~1.~\mathrm{CЭM}$ - микрофотография скола и поверхности образцов: a — степень реактивности $\alpha=0,60;~\delta$ — степень реактивности $\alpha=0,47.$ Режимы осаждения: ток разряда $I=1~\mathrm{A};$ давление $p=7,0\cdot10\cdot1~\mathrm{I}$ Па; напряжение смещения $U\mathrm{cm}=-200~\mathrm{B};$ температура подложки $T=370~\mathrm{^{\circ}C}$

б

В таблице приведены: значения степени реактивности; соотношения атомных долей (Ti+Al) / (N); скорости осаждения; удельное сопротивление структур $Ti_{1-x}Al_xCuN/SiO_2$. Слоевое сопротивление структур $Ti_{1-x}Al_xCuN/SiO_2$, измеряли четырехзондовым методом с помощью прибора ИУС-3, а удельное сопротивление р покрытий TiAlCuN, рассчитывали по формуле:

$$\rho = R_{\square} \times h,\tag{2}$$

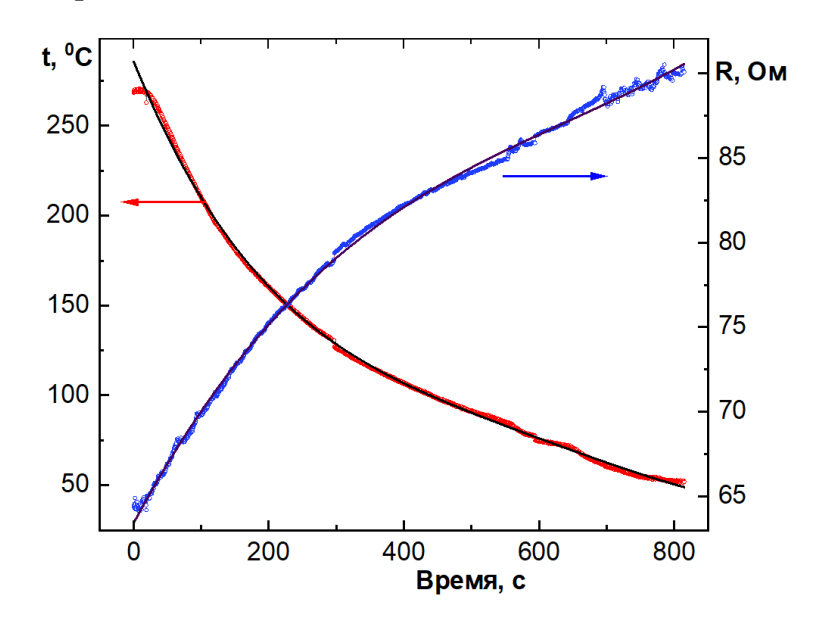
где R_{\square} — слоевое сопротивление; h — толщины покрытий, полученные из СЭМ — микрофотографий.

Степень реактивности – α ; соотношение атомных долей (Ti+Al)/(N) в покрытии; удельное сопротивление слоя Ti_{1-x}Al_xCuN на SiO₂

α	0,47	0,51	0,55	0,58	0,60
(Ti+Al)/(N)	1,310	1,250	1,175	1,075	0,990
v, нм/с	0,535	0,510	0,460	0,415	0,360
ρ, мкОм*см	695	1005	2290	4005	6380

Из результатов, представленных в таблице, следует, что покрытия стехиометрического состава (Ti+Al) / (N) \approx 1 осаждаются при значении параметра α = 0,60. Уменьшение значения параметра α от величины 0,60 до значения 0,47 приводит к увеличению атомной доли металлической компоненты (Ti+Al) / N > 1 в покрытии на 30 % и скорости осаждения слоев ν на 48 %; при этом их удельное сопротивление уменьшается в 9 раз. Такие зависимости, в первую очередь, связаны с повышением доли металла в покрытии. Установлено, что соотношение компонент x = Al / (Al+Ti) всех покрытий находится в пределах от 0,55 до 0,63.

Регистрация зависимостей температуры и сопротивления структур $Ti_{1-x}Al_xCuN / SiO_2$ от времени проводилась двухзондовым методом с помощью прибора ИППП-6, в процессе охлаждения предварительно нагретого образца, что снижало влияние конвекционных эффектов и обеспечивало более стабильные и воспроизводимые условия измерения. На рис. 2 представлены зависимости температуры и сопротивления образца, полученные при постепенном его охлаждении от $270\,^{\circ}$ С до $50\,^{\circ}$ С. На образец подавалось стабилизированное постоянное напряжение величиной $(3,000\pm0,002)$ В, а ток, протекающий через структуру, регистрировался в реальном масштабе времени.



Puc. 2. Измерение температуры и сопротивления образца α = 0,60 при его охлаждении от 270 °C до 50 °C

Для расчёта температуры по сопротивлению термистора часто используется уравнение Стейнхарта-Харта [5]. Данная аппроксимация экспериментальных данных, позволяющая описывать сложные зависимости сопротивления от температуры и учитывающая нелинейные термически активированные процессы, представлена на рис. 3. Как видно из рис. 3, результаты аппроксимации показывают высокую степень соответствия с экспериментом, что подтверждает применимость данной модели к структурам $Ti_{1-x}Al_xCuN$ / SiO_2 .

Аппроксимация Стейнхарта-Харта для рассматриваемого образца (α = 0,60; (Ti+Al) / (N) = 0,990) представлена формулой:

$$(1/T) = -1143 + 801 * Ln(R) - 187 * [Ln(R)]^2 + 15 * [Ln(R)]^3,$$
 (3)

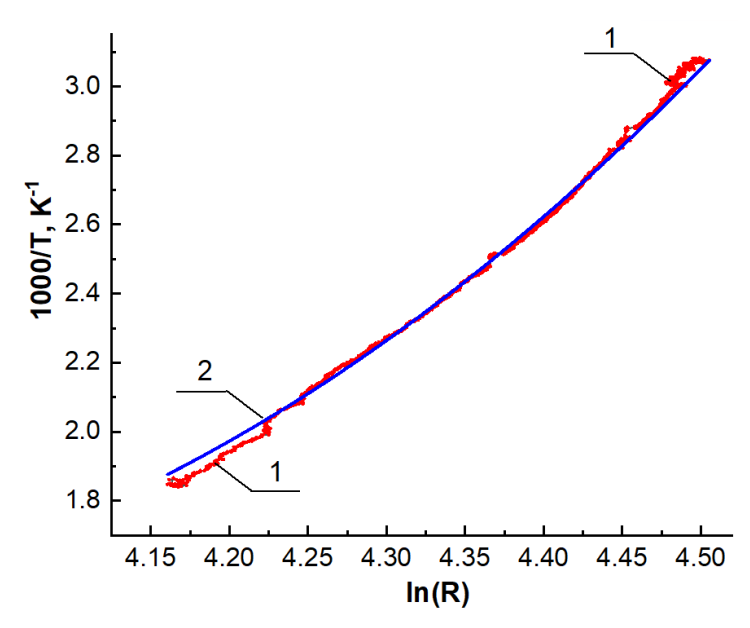


Рис. 3. Аппроксимация экспериментальных данных уравнением Стейнхарта-Харта для зависимости температуры от сопротивления структуры $Ti_{1-x}Al_xCuN / SiO_2$ ($\alpha = 0.60$; (Ti+Al / (N) = 0.990)

Следует подчеркнуть, что, несмотря на наличие отрицательного ТКС, структуры $Ti_{1-x}Al_xCuN / SiO_2$ не демонстрируют поведения классических полупроводников, что подтверждается нелинейностью температурных кривых, не поддающихся описанию по модели Аррениуса ($\ln R \sim 1/T$).

Можно предположить, что перенос носителей происходит по барьерному механизму, обусловленному потенциальными барьерами на границах зёрен. В этом случае с ростом температуры, термически активированные электроны получают достаточную энергию для преодоления энергетических барьеров, образованных на межзёрненных границах или внутри неоднородных фаз. В литературе данный тип поведения относят к прыжковым механизмам переноса.

Библиографические ссылки

- 1. Влияние режимов нанесения наноструктурированных нитридных и карбонитридных покрытий на их структуру, оптические и электрофизические свойства / Константинов С. В [и др.] // Журнал БГУ. Физика. 2024. № 2. С. 69–83.
- 2. Expanding the applications of the wear-resistant titanium aluminum nitride thin-film to include temperature sensing / Bruno Martins [et al.] // J. Sci. Adv. Mater. Devices. 2024. V. 9: 100716.
- 3. Система контроля расхода газов для применения в технологии реактивного магнетронного распыления / И. М. Климович [и др.] // Приборы и методы измерений. 2015. Т. 6, № 2. С. 139–147.
- 4. Особенности формирования структуры порошковых мишеней из резистивных сплавов при импульсном прессовании / А. Р. Лученок [и др.] // Материалы докладов Международного симпозиума «Инженерия поверхности. Новые порошковые композиционные материалы. Сварка» (23-25 марта 2011 г., Минск, в 2 частях). Часть 1. С. 333-337.
- 5. Уравнение Стейнхарта Харта. [Электронный ресурс] URL: https://ru.wikipedia.org (дата обращения: 29.09.2025).